

01;05

## „Вакуумное“ трение и теплообмен нано- и микрочастицы с поверхностью твердого тела

© Г.В. Дедков, А.А. Кясов

Кабардино-Балкарский государственный университет,  
360004 Нальчик, Россия  
e-mail: gv dedkov@mail.ru; nano@kbsu.ru

(Поступило в Редакцию 16 февраля 2007 г. В окончательной редакции 20 августа 2007 г.)

В дипольном приближении впервые получены наиболее общие релятивистские формулы для тангенциальной силы флуктуационно-электромагнитного взаимодействия и скорости теплового нагрева сферической нейтральной частицы, движущейся в вакууме вблизи поверхности конденсированной среды. Показано, что наличие флуктуационного магнитного момента у проводящей частицы приводит к значительному превышению скорости вакуумного теплообмена по сравнению с контактным и радиационным (в соответствии с законом Стефана). Отмечено, что наличие совпадающих пиков поглощения у частицы и поверхности в СВЧ-диапазоне может объяснить наблюдаемые силы демпфирования нанозондов в динамической моде атомно-силового микроскопа.

PACS: 41.20.-q, 78.70.-g

### Введение

„Вакуумным“ принято называть трение („вязкое“), пропорциональное скорости незаряженного пробного тела, движущегося в вакууме вблизи другого, неподвижного тела. „Вакуумный“ теплообмен между покоящимися телами осуществляется при различии их температур (частным случаем является закон Стефана–Больцмана), а между движущимися — зависит также от мощности диссипации энергии при трении. В целом оба явления имеют общую физическую природу, являясь следствием флуктуационно-электромагнитного взаимодействия, обусловленного квантово-статистическими флуктуациями поляризации и намагниченности контактирующих тел. В случае покоящихся тел электромагнитные флуктуации приводят к возникновению консервативных сил Ван-дер-Ваальса и Казимира [1–3].

Целью настоящей работы является развитие теории вакуумного трения и теплообмена движущейся нано-частицы (атомного кластера, зонда атомно-силового микроскопа АСМ) с поверхностью твердого тела при самых общих предположениях об электрических и магнитных свойствах контактирующих материалов и произвольных температурах. Так, твердое тело характеризуется диэлектрической и магнитной проницаемостью общего вида, а частица — дипольной электрической и магнитной поляризуемостью. В основе применяемого подхода лежат результаты работ [4–9], но в отличие от них предполагается, что частица в собственной системе покоя обладает не только флуктуационным электрическим, но также и флуктуационным магнитным дипольными моментами.

Аналогичное общее решение задачи о вакуумном трении и теплообмене двух протяженных тел, разделенных плоской вакуумной щелью, в литературе пока отсутствует. Хотя этому вопросу посвящено большое число работ (см., например, [10–20]), в целом результаты разных

авторов противоречивы и плохо согласуются между собой. В работах [18–20], например, был предложен нерелятивистский вариант теории вакуумного трения, но в своих расчетах авторы не учитывали эффекты, обусловленные флуктуационными токами магнитной поляризации, которые возникают как для диэлектрических, так и для металлических частиц, причем в последнем случае они даже могут стать определяющими.

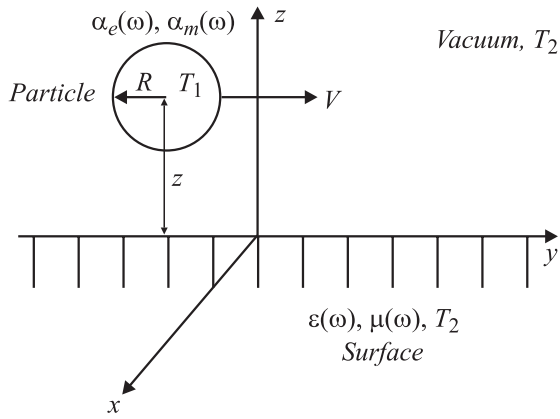
### Общие теоретические результаты

Рассматривается нейтральная сферическая частица с радиусом  $R$ , движущаяся с произвольной скоростью  $V$  параллельно плоской границе среда–вакуум на расстоянии  $z$  от нее (рис. 1). Предполагается, что  $R \ll z$ , поэтому частицу можно рассматривать как точечный флуктуирующий электрический и магнитный диполь. Ее электрическая и магнитная поляризуемости определяются функциями частоты  $\alpha_{e,m}(\omega)$ , а среда характеризуется диэлектрической  $\epsilon(\omega)$  и магнитной  $\mu(\omega)$  проницаемостью. Здесь и в дальнейшем термин „поверхность“ понимается как конденсированное тело (континуум) с плоской границей, отделяющей его от вакуума. В самой общей ситуации (рис. 1) исходные выражения для проекций силы  $F_x, F_z$ , действующей на частицу, и скорости ее теплового нагрева  $\dot{Q}$  целесообразно записать в симметричном виде [5–8,21]

$$F_{x,z} = \langle \nabla_{x,z} \cdot (\mathbf{dE} + \mathbf{mB}) \rangle, \quad (1)$$

$$\dot{Q} = \langle \mathbf{dE} + \mathbf{mB} \rangle, \quad (2)$$

где  $\mathbf{d}, \mathbf{m}$  — флуктуационные электрический и магнитный дипольные моменты частицы,  $\mathbf{E}, \mathbf{B}$  — компоненты флуктуационного электромагнитного поля, угловые скобки обозначают полное квантово-статистическое усреднение. Все величины, входящие в (1), (2), а также операции



**Рис. 1.** Система координат и схема движения частицы над плоской поверхностью.  $T_1$  — температура частицы,  $T_2$  — температура поверхности и фонового излучения.

дифференцирования по координатам  $x, z$  в (1) и по времени  $t$  в (2) заданы в неподвижной декартовой системе отсчета, связанной с поверхностью (рис. 1).

Флуктуационные моменты  $\mathbf{d}$ ,  $\mathbf{m}$  частицы и компоненты  $\mathbf{E}$ ,  $\mathbf{B}$  электромагнитного поля включают суммы спонтанных и индуцированных составляющих, метод вычисления которых подробно изложен в [5-8]. При условиях, отвечающих рис. 1, отклики частицы и среды — вакуума и континуума, заполненного веществом, представляются суммой флуктуационных моментов и полей, соответствующих частице, вакуумному фону и веществу. С учетом этого из (1), (2) в ходе вычислений получаются суммы сил и скоростей нагрева, обусловленных взаимодействием частицы с веществом и с вакуумным фоном, а попутно возникающие интерференционные составляющие из-за отсутствия взаимной корреляции полей поверхности и фона в итоге исчезают.

В нашей недавней работе [22], в частности, было строго показано, что плотность энергии равновесного флуктуационного электромагнитного поля над плоской поверхностью нагретого континуума определяется суммой независимых вкладов от континуума и от окружающего прозрачного вакуумного фона. Таким образом, при проведении вычислений, основанных на формулах (1), (2), соответствующие вклады можно находить в отдельности, а затем их суммировать.

В результате расчета по формулам (1), (2), технические детали которого аналогичны работам [5,6], предполагая, что температура частицы равна  $T_1$ , а окружающего фона и поверхности —  $T_2$ , для компонент флуктуационной силы  $F_{x,z}$  и скорости радиационного нагрева  $\dot{Q}$  получим

$$F_x = -\frac{\hbar\gamma}{\pi c^4} \int_0^\infty d\omega \omega^4 \times \int_{-1}^1 dx x(1 + \beta x)^2 [\alpha_e''(\omega_1) + \alpha_m''(\omega_1)] W_1(\omega_1, T_1, T_2)$$

$$\begin{aligned} & -\frac{\hbar\gamma}{\pi^2} \iiint_{k>\omega/c} d\omega d^2k k_x \tilde{q}_0^{-1} \exp(-2q_0 z) \\ & \times \left\{ W_2(\omega^+, T_1, T_2) [\alpha_e''(\omega^+) \operatorname{Im} R_e^+(\omega, \mathbf{k}) \right. \\ & + \alpha_m''(\omega^+) \operatorname{Im} R_m^+(\omega, \mathbf{k})] - W_2(\omega^-, T_1, T_2) \\ & \times [\alpha_e''(\omega^-) \operatorname{Im} R_e^-(\omega, \mathbf{k}) + \alpha_m''(\omega^-) \operatorname{Im} R_m^-(\omega, \mathbf{k})] \left. \right\} \\ & -\frac{\hbar\gamma}{\pi^2} \iiint_{k<\omega/c} d\omega d^2k k_x \tilde{q}_0^{-1} (-\sin(2\tilde{q}_0 z)) \\ & \times \left\{ R_e^\pm, R_m^\pm \rightarrow \tilde{R}_e^\pm, \tilde{R}_m^\pm \right\} - \frac{\hbar\gamma}{\pi^2} \iiint_{k<\omega/c} d\omega d^2k k_x \tilde{q}_0^{-1} \cos(2\tilde{q}_0 z) \\ & \times \left\{ W_2(\omega^+, T_1, T_2) [\alpha_e''(\omega^+) \operatorname{Re} \tilde{R}_e^+(\omega, \mathbf{k}) \right. \\ & + \alpha_m''(\omega^+) \operatorname{Re} \tilde{R}_m^+(\omega, \mathbf{k})] \\ & - W_2(\omega^-, T_1, T_2) [\alpha_e''(\omega^-) \operatorname{Re} \tilde{R}_e^-(\omega, \mathbf{k}) \\ & + \alpha_m''(\omega^-) \operatorname{Re} \tilde{R}_m^-(\omega, \mathbf{k})] \left. \right\}. \end{aligned} \quad (3)$$

$$\begin{aligned} \dot{Q} &= \frac{\hbar\gamma}{\pi c^3} \int_0^\infty d\omega \omega^4 \\ & \times \int_{-1}^1 dx (1 + \beta x)^3 [\alpha_e''(\omega_1) + \alpha_m''(\omega_1)] W_1(\omega_1, T_1, T_2) \\ & -\frac{\hbar}{\pi^2} \iiint_{k>\omega/c} d\omega d^2k q_0^{-1} \exp(-2q_0 z) \\ & \times \left\{ \omega^+ W_2(\omega^+, T_1, T_2) [\alpha_e''(\omega^+) \operatorname{Im} R_e^+(\omega, \mathbf{k}) \right. \\ & + \alpha_m''(\omega^+) \operatorname{Im} R_m^+(\omega, \mathbf{k})] + \omega^- W_2(\omega^-, T_1, T_2) \\ & \times [\alpha_e''(\omega^-) \operatorname{Im} R_e^-(\omega, \mathbf{k}) + \alpha_m''(\omega^-) \operatorname{Im} R_m^-(\omega, \mathbf{k})] \left. \right\} \\ & -\frac{\hbar}{\pi^2} \iiint_{k<\omega/c} d\omega d^2k \tilde{q}_0^{-1} (-\sin(2\tilde{q}_0 z)) \\ & \times \left\{ R_e^\pm, R_m^\pm \rightarrow \tilde{R}_e^\pm, \tilde{R}_m^\pm \right\} \\ & -\frac{\hbar}{\pi^2} \iiint_{k<\omega/c} d\omega d^2k \tilde{q}_0^{-1} \cos(2\tilde{q}_0 z) \left\{ \omega^+ W_2(\omega^+, T_1, T_2) \right. \\ & \times [\alpha_e''(\omega^+) \operatorname{Re} \tilde{R}_e^+(\omega, \mathbf{k}) + \alpha_m''(\omega^+) \operatorname{Re} \tilde{R}_m^+(\omega, \mathbf{k})] \\ & - \omega^- W_2(\omega^-, T_1, T_2) [\alpha_e''(\omega^-) \operatorname{Re} \tilde{R}_e^-(\omega, \mathbf{k}) \\ & + \alpha_m''(\omega^-) \operatorname{Re} \tilde{R}_m^-(\omega, \mathbf{k})] \left. \right\}. \end{aligned} \quad (4)$$

В формулах (3) и (4)  $\hbar$ ,  $k_B$ ,  $c$  — постоянные Планка, Больцмана и скорость света в вакууме соответственно. Функции, отмеченные сверху двумя штрихами обозначают соответствующие мнимые компоненты,  $\beta = V/c$ ,  $\gamma = (1 - \beta^2)^{-1/2}$ ,  $\mathbf{k} = (k_x, k_y)$ ,  $\omega_1 = \gamma\omega(1 + \beta \cos \theta)$ ,  $\omega^\pm = \gamma(\omega \pm k_x V)$ ,  $\theta$  — угол между векторами  $\mathbf{k}$  и  $\mathbf{V}$ ,  $V = |\mathbf{V}|$ ,  $\tilde{q} = (\varepsilon\mu\omega^2/c^2 - k^2)^{1/2}$ ,  $q = (k^2 - \varepsilon\mu\omega^2/c^2)^{1/2}$ ,  $q_0 = (k^2 - \omega^2/c^2)^{1/2}$ ,  $\tilde{q}_0 = (\omega^2/c^2 - k^2)^{1/2}$ ,  $k^2 = k_x^2 + k_y^2$ ,

$$\Delta_e = \frac{\varepsilon q_0 - q}{\varepsilon q_0 + q}, \quad \Delta_m = \frac{\mu q_0 - q}{\mu q_0 + q},$$

$$\tilde{\Delta}_e = \frac{\varepsilon \tilde{q}_0 - \tilde{q}}{\varepsilon \tilde{q}_0 + \tilde{q}}, \quad \tilde{\Delta}_m = \frac{\mu \tilde{q}_0 - \tilde{q}}{\mu \tilde{q}_0 + \tilde{q}}, \quad (5)$$

$$R_e^{(\pm)}(\omega, \mathbf{k}) = \chi_e^{(\pm)}(\omega, \mathbf{k})\Delta_e(\omega) + \chi_m^{(\pm)}(\omega, \mathbf{k})\Delta_m(\omega),$$

$$R_m^{(\pm)}(\omega, \mathbf{k}) = \chi_e^{(\pm)}(\omega, \mathbf{k})\Delta_m(\omega) + \chi_m^{(\pm)}(\omega, \mathbf{k})\Delta_e(\omega),$$

$$\tilde{R}_e^{(\pm)}(\omega, \mathbf{k}) = \chi_e^{(\pm)}(\omega, \mathbf{k})\tilde{\Delta}_e(\omega) + \chi_m^{(\pm)}(\omega, \mathbf{k})\tilde{\Delta}_m(\omega),$$

$$\tilde{R}_m^{(\pm)}(\omega, \mathbf{k}) = \chi_e^{(\pm)}(\omega, \mathbf{k})\tilde{\Delta}_m(\omega) + \chi_m^{(\pm)}(\omega, \mathbf{k})\tilde{\Delta}_e(\omega), \quad (6)$$

$$\chi_e^{(\pm)}(\omega, \mathbf{k}) = 2(k^2 - k_x^2\beta^2)(1 - \omega^2/k^2c^2) + \frac{(\omega \pm k_x V)^2}{c^2}, \quad (7)$$

$$\chi_m^{(\pm)}(\omega, \mathbf{k}) = 2k_y^2\beta^2(1 - \omega^2/k^2c^2) + \frac{(\omega \pm k_x V)^2}{c^2}, \quad (8)$$

$$W_1(\omega_1, T_1, T_2) = \coth\left(\frac{\hbar\omega}{2k_B T_2}\right) - \coth\left(\frac{\hbar\omega_1}{2k_B T_1}\right),$$

$$\omega_1 = \gamma\omega(1 + \beta x); \quad (9)$$

$$W_2(\omega^\pm, T_1, T_2) = \coth\left(\frac{\hbar\omega}{2k_B T_2}\right) - \coth\left(\frac{\hbar\omega^\pm}{2k_B T_1}\right),$$

$$\omega^\pm = \gamma(\omega \pm k_x V). \quad (10)$$

Все частотные интегралы берутся в пределах  $(0, \infty)$ , а по проекциям волновых векторов — в первом координатном квадрате (в координатных осях  $k_x, k_y$ ). Для сокращения записи зависимости от волновых векторов величин  $\Delta_e, \Delta_m, \tilde{\Delta}_e, \tilde{\Delta}_m$  в (5) и (6) опущены. Кроме того, в подынтегральных слагаемых формул (3), (4), в которые входит скобочное выражение  $\{R_e^\pm, R_m^\pm \rightarrow \tilde{R}_e^\pm, \tilde{R}_m^\pm\}$ , нужно иметь в виду, что их структура идентична структурам выражений в больших фигурных скобках, в интегралах по области волновых векторов  $k > \omega/c$  (т.е. для ближних мод поверхности).

Первые интегральные слагаемые в (3) и (4) описывают вклад во взаимодействие вакуумного фона в предположении, что равновесный фотонный газ имеет, как и поверхность, температуру  $T_2$  и не зависит от расстояния  $z$  частицы от поверхности; второе и третье слагаемые (3), (4) описывают взаимодействие частицы с поверхностью и зависят от  $z$ . В отличие от аналогичных формул, приведенных в работах [5–8], формулы (3), (4) включают вклады магнитной поляризации частицы: слагаемые, пропорциональные  $\alpha_m$ . Они отличаются от вкладов электрической поляризации (слагаемые, пропорциональные  $\alpha_e$ ) преобразованиями  $\alpha_e \leftrightarrow \alpha_m$  в соответствии

с принципом перестановочной двойственности. В целом, как нетрудно видеть, формулы (3), (4) симметричны к перестановке слагаемых, связанных с вкладом электрических (с индексом „e“) и магнитных (с индексом „m“) взаимодействий. Таким образом, учитываются (в дипольном приближении) все возможные составляющие флуктуационно-электромагнитного взаимодействия произвольно нагретой частицы с плоской поверхностью, граничащей с равновесным вакуумным фоном.

В заключение данного раздела заметим, что магнитная поляризация металлической наночастицы вносит также заметный вклад в силу ее нормального взаимодействия с поверхностью,  $F_z$  (силу Казимира). Этот вопрос недавно рассматривался нами в [21,23].

## „Вязкая“ сила трения

В дальнейшем ограничимся случаем немагнитной среды ( $\mu = 1$ ) и нерелятивистским приближением как более характерными для многих приложений и, в частности, для приложений в атомно-силовой микроскопии [24]. Типичные скорости зондов в колебательном режиме АСМ не превышают 1 м/с, поэтому нерелятивистское (линейное по скорости) приближение для латеральной силы  $F_x$  является полностью оправданным. В то же время эффекты запаздывания необходимо учитывать в полной мере. Диэлектрическую функцию поверхности представим в общем виде  $\varepsilon(\omega) = \varepsilon'(\omega) + i\varepsilon''(\omega)$ , а диэлектрическую функцию материала зонда — в виде  $\varepsilon_p(\omega) = \varepsilon'_p(\omega) + i\varepsilon''_p(\omega)$ . Для электрической и магнитной поляризуемости сферической частицы воспользуемся классическими приближениями [25]

$$\begin{cases} \alpha_e'' = 3R^3 \frac{\varepsilon_p''}{(\varepsilon_p' + 2)^2 + \varepsilon_p''^2} \equiv 3R^3 \varphi_{ep}(\omega), \\ \alpha_m'' = -\frac{3R^3}{x^2} \left(1 - 0.5 \frac{\sinh x + \sin x}{\cosh x - \cos x}\right) \equiv 3R^3 \varphi_{mp}(x), \\ x = \frac{R\omega}{c} \sqrt{2\varepsilon_p''(\omega)}. \end{cases} \quad (11)$$

При переходе к нерелятивистскому пределу ( $\beta \ll 1$ ,  $\gamma = 1$ ) в формулах (7), (8) необходимо сохранить линейные по скорости члены, а в (3) — выполнить линейное разложение подынтегральных функций, содержащих доплеровские сдвиги.

Вводя обозначения  $\omega_{W1} \equiv k_B T_1/\hbar$ ,  $\omega_{W2} \equiv k_B T_2/\hbar$  для виновских частот частицы и равновесного фонового излучения, а также  $a \equiv R(2\varepsilon_p'')^{1/2}/c$ , после подстановки (10), (11) в первый интеграл (3) получим

$$F_x^{(1)} = -\frac{4}{\pi} \left(\frac{R}{c}\right)^3 \frac{\hbar V}{c^2} [\omega_{W1}^5 \varphi_1(\omega_{W1}) + \omega_{W2}^5 \varphi_2(\omega_{W2}) - \omega_{W1}^5 \varphi_2(\omega_{W1})], \quad (12)$$

$$\varphi_1(x) = \frac{1}{4} \int_0^\infty \frac{t^5 dt}{\sinh^2(t/2)} [\varphi_{ep}(xt) + \varphi_{mp}(axt)], \quad (13)$$

$$\varphi_2(x) = \int_0^{\infty} \frac{t^4 dt}{\exp(t) - 1} \frac{d}{dt} [t(\varphi_{ep}(xt) + \varphi_{mp}(axt))]. \quad (14)$$

В нанометровой области расстояний от поверхности, т.е. в случае преобладания вклада мод ближнего поля (второй интеграл в (3)) следует принять во внимание, что, поскольку температурные факторы (10) резко обрезают частотные интегралы при  $\omega > \omega_w$ , то параметр запаздывания мал:  $\eta = \omega_w z / c \ll 1$ , а мнимые части функций  $\Delta_{e,m}$  в (5) упрощаются (вместо волнового вектора  $k$  удобно ввести приведенную переменную  $u = \sqrt{k^2 c^2 / \omega^2 + 1}$ );

$$\Delta_e'' = \frac{2\varepsilon''}{(\varepsilon' + 1)^2 + \varepsilon''^2} \equiv \varphi_e(\omega), \quad (15)$$

$$\Delta_m'' = \begin{cases} \frac{u}{\sqrt{\varepsilon''}}, & 0 \leq u \leq 0.63\sqrt{\varepsilon''}, \quad \varepsilon'' > 1, \\ \frac{\varepsilon''}{4u^2}, & u \geq 0.63\sqrt{\varepsilon''}. \end{cases} \quad (16)$$

Заметим, что при наличии резонансной линии поглощения поверхности на частоте  $\omega_0$ , когда  $\varepsilon' \approx -1$ ,  $\varepsilon'' \ll 1$ , из формул (5) и (15) следует  $\Delta_e'' \approx 2/\varepsilon''$ , а величина  $\Delta_m''$  пренебрежимо мала. С учетом (15), (16) интегрирование по волновому вектору  $k$  во втором интегральном слагаемом (3) выполняется элементарно, а частотные интегралы рационализируются в виде, аналогичном интегралу от вакуумных мод. В результате получим (функции  $\Phi_{1-8}$  приведены в Приложении,  $\eta_{1,2} = \omega_{w1,2} z / c$ )

$$\begin{aligned} F_x^{(2)} = & -\frac{3}{4\pi} \frac{\hbar V R^3}{z^5} \left\{ \Phi_1(\omega_{w1}) + \eta_1^2 \Phi_2(\omega_{w1}) \right. \\ & + \eta_1^4 \Phi_3(\omega_{w1}) + \eta_1^5 \Phi_4(\omega_{w1}, z) + \Phi_5(\omega_{w2}) \\ & - \Phi_5(\omega_{w1}) + \eta_2^2 \Phi_6(\omega_{w2}) - \eta_1^2 \Phi_6(\omega_{w1}) \\ & + \eta_2^4 \Phi_7(\omega_{w2}) - \eta_1^4 \Phi_7(\omega_{w1}) + \eta_2^5 \Phi_8(\omega_{w2}, z) \\ & \left. - \eta_1^5 \Phi_8(\omega_{w1}, z) \right\}. \quad (17) \end{aligned}$$

Вклад волновых поверхностных мод  $F_z^{(3)}$  имеет наиболее простой вид в случае контакта частицы с металлической поверхностью:  $0 \leq u \leq 1$ ,  $\varepsilon'' \gg 1$ , из (5) следует  $\tilde{\Delta}_e \approx 1$ ,  $\tilde{\Delta}_m \sim 1$ . В результате последующего упрощения третьего и четвертого интегралов (3) результирующая формула для  $F_z^{(3)}$  приводится к виду

$$\begin{aligned} F_x^{(3)} = & -\frac{3\hbar V R^3}{\pi z^5} \left\{ -\Phi_9(\omega_{w1}, 2\eta_1) + \eta_1 \Phi_{10}(\omega_{w1}, 2\eta_1) \right. \\ & + \eta_1^2 \Phi_{11}(\omega_{w1}, 2\eta_1) - \eta_1^3 \Phi_{12}(\omega_{w1}, 2\eta_1) \\ & + \Phi_{13}(\omega_{w1}, 2\eta_1) - \Phi_{13}(\omega_{w2}, 2\eta_2) \\ & + \eta_2 \Phi_{14}(\omega_{w2}, 2\eta_2) - \eta_1 \Phi_{14}(\omega_{w1}, 2\eta_1) \\ & + \eta_2^2 \Phi_{15}(\omega_{w2}, 2\eta_2) - \eta_1^2 \Phi_{15}(\omega_{w1}, 2\eta_1) \\ & \left. + \eta_1^3 \Phi_{16}(\omega_{w1}, 2\eta_1) - \eta_2^3 \Phi_{16}(\omega_{w2}, 2\eta_2) \right\}. \quad (18) \end{aligned}$$

Функции  $\Phi_{9-16}$  также приведены в Приложении. Заметим, что разностные слагаемые (17), (18), включающие функции  $\Phi_i$  с одинаковым индексом „i“, отличны от нуля лишь при различии температур частицы и поверхности. При тепловом равновесии сила трения определяется только первыми четырьмя слагаемыми (17), (18) и первым слагаемым в правой части (12).

## Скорость теплообмена

Зависимость от скорости в (4) появляется только во втором порядке разложения по скорости, поэтому при нерелятивистском движении зонда достаточно ограничиться статическим случаем  $V = 0$ . При этих условиях (4) приводится к виду (см. (П.17)–(П.21))

$$\begin{aligned} \dot{Q} &= \dot{Q}^{(1)} + \dot{Q}^{(2)} + \dot{Q}^{(3)} \\ &= -\frac{12\hbar}{\pi} \left(\frac{R}{c}\right)^3 [\omega_{w1}^5 \varphi_3(\omega_{w1}) - \omega_{w2}^5 \varphi_3(\omega_{w2})] \\ &\quad - \frac{6\hbar R^3}{\pi z^3} \left\{ \omega_{w1}^2 \Phi_{17}(\omega_{w1}) - \omega_{w2}^2 \Phi_{17}(\omega_{w2}) \right. \\ &\quad + \omega_{w1}^2 \eta_1^2 \Phi_{18}(\omega_{w1}) - \omega_{w2}^2 \eta_2^2 \Phi_{18}(\omega_{w2}) \\ &\quad \left. + \omega_{w1}^2 \eta_1^3 \Phi_{19}(\omega_{w1}, z) - \omega_{w2}^2 \eta_2^3 \Phi_{19}(\omega_{w2}, z) \right\} \\ &\quad - \frac{4\hbar R^3}{\pi c^3} [\omega_{w1}^5 \Phi_{20}(\omega_{w1}, z) - \omega_{w2}^5 \Phi_{20}(\omega_{w2}, z)]. \quad (19) \end{aligned}$$

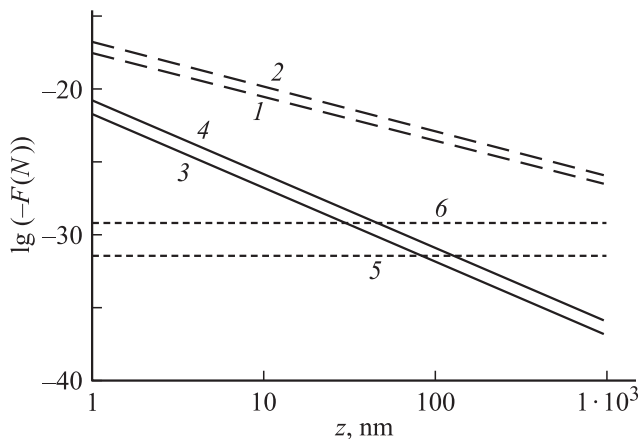
Как и при вычислении сил трения, отдельные слагаемые  $\dot{Q}^{(1-3)}$  в (19) соответствуют вкладам в скорость нагрева частицы от вакуумных мод, мод ближнего поля и волновых мод поверхности.

## Результаты численного расчета и обсуждение

### Сила трения

Прежде всего заметим, что вклад неизотермических членов в общих формулах (3), (4) или (12), (17), (18) определяется параметром  $\Delta T/T$ , где  $\Delta T$  — разность температур частицы и среды. Поэтому при  $\Delta T/T \ll 1$  его можно не учитывать. Однако при  $\Delta T/T \sim 1$  неизотермические члены могут доминировать, причем знак латеральной силы в итоге может быть как отрицательным (при  $T_1 > T_2$ , когда частица тормозится), так и положительным (при  $T_1 < T_2$ , когда частица ускоряется). В дальнейшем, если специально не оговаривается, подразумевается изотермический случай.

При анализе сочетаний различных контактирующих материалов интересно рассмотреть вакуумный контакт хорошо проводящих тел (нормальных металлов), полуметаллов (типа графита), диэлектрических тел, с наличием резонансных пиков поглощения, и материалов



**Рис. 2.** Зависимость силы трения наночастиц меди ( $R = 50$  nm,  $V = 1$  cm/s) от расстояния до поверхности меди в области ближнего поля. Линии 1, 2 соответствуют вкладу членов с магнитной поляризацией; 3, 4 — то же для членов с электрической поляризацией; 5, 6 — вакуумный вклад (12):  $T = 300$  K для линий 1, 3, 5 и  $T = 900$  K для линий 2, 4, 6.

смешанного типа. Для контактов первых двух видов  $\varepsilon(\omega) = 1 + i4\pi\sigma/\omega$ , где  $\sigma$  — проводимость, поэтому в области частот  $\omega \approx \omega_W$  (наиболее существенной при вычислении сил трения) мнимая компонента магнитной поляризуемости металлической частицы всегда преобладает над электрической. Результаты численного расчета силы трения  $F_x$  для контакта медной частицы с поверхностью меди ( $\sigma = 5.2 \cdot 10^{17}$  s $^{-1}$  при  $T = 300$  K) в диапазоне расстояний 1–1000 nm приведены на рис. 2. В расчетах принимались значения параметров  $R = 50$  nm,  $T = 300$  K,  $V = 1$  cm/s. Принятое значение скорости соответствует характерной максимальной скорости движения зонда АСМ в колебательном режиме [26–28]. Как видно из рис. 2, вклад магнитной поляризации на 5–10 порядков величины превосходит вклад электрической поляризации при  $z > 10$  nm, хотя абсолютные значения сил трения остаются достаточно низкими. Например, в экспериментах [26–28] измеренный коэффициент вязкого трения зонда микроскопа  $\mu = F_x/V$  составлял  $10^{-11}$ – $10^{-13}$  kg/s (при  $z = 10$  nm), в то время как из рис. 2 следует оценка  $\mu = 10^{-20}$  kg/s. Для контакта полуметаллов более значительный вклад в силу трения связан с электрической поляризацией частицы, но порядок ее значения, как показывают расчеты [4,6], остается таким же (т.е. достаточно низким).

В области расстояний  $R/z > 1$  (т.е. в рассматриваемом случае ( $R = 50$  nm) при  $z < 50$  nm) дипольное приближение нарушается, поэтому приведенные результаты следует квалифицировать как оценочные. Для получения более реалистичных значений сил, пригодных для сопоставления с АСМ-измерениями, воспользуемся приближением аддитивности взаимодействий, пренебрегая для простоты зависимостью магнитной поляризуемости от размера частицы (строго говоря, это справедливо лишь для диэлектрической частицы). Тогда, полагая, что

зонд микроскопа имеет форму параболоида вращения с радиусом кривизны  $R$  вблизи апекса и большим отношением высоты к радиусу ( $H/R \gg 1$ ), все формулы для  $F_x$  проинтегрируем по объему зонда, делая замену  $R^3 \rightarrow \frac{3}{4\pi} d^3r$ . В случае исходной степенной зависимости силы трения от расстояния вида  $F_x = C/z^n$  получим (при  $n > 2$ )

$$F_x = \frac{3CR}{2(n-1)(n-2)} \frac{1}{z_0^{n-2}}, \quad (20)$$

где  $R$  теперь имеет смысл радиуса кривизны зонда, а  $z_0$  — расстояние точки апекса от поверхности. Формула (20) имеет более слабую зависимость от расстояния, а по порядку величины (при  $z_0 = 10$  nm) получаемое из нее значение силы несколько меньше, чем следует из (16)–(18) в случае сферической частицы того же радиуса.

Силы трения значительно большей величины возможны (в зоне ближнего поля) в случае совпадающих резонансных пиков поглощения частицы и поверхности. Тогда основной вклад в  $F_x$  дает первый член (17), для которого с учетом (15), (П.1) будем иметь

$$F_x = -\frac{9}{4\pi} \frac{\hbar V R^3}{z^5} \int_0^\infty \frac{dt}{\sinh(t/2)^2} \frac{1}{\varepsilon''(\omega_W t) \varepsilon_p''(\omega_W t)}. \quad (21)$$

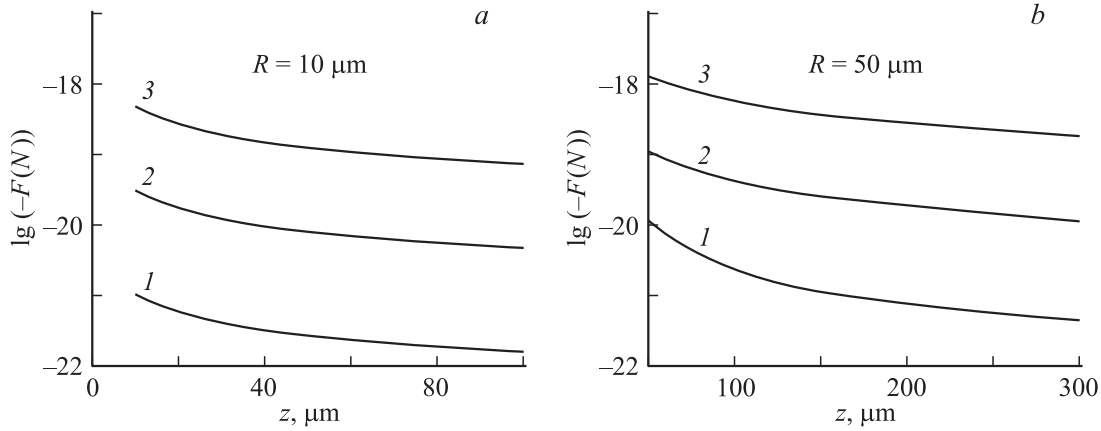
Пусть центр пика поглощения приходится на частоту  $\omega_0 = \omega_W t_0$ ,  $t_0 \ll 1$ , а его относительная ширина равна  $\Delta\omega_0/\omega_0$ . Проинтегрировав (21) по площади пика и принимая во внимание (20), для параболического зонда находим

$$F_x = -\frac{9}{8\pi} \frac{R}{z_0} \frac{\hbar V}{z_0^2} \frac{\omega_W}{\omega_0} \frac{\Delta\omega_0}{\omega_0} \frac{1}{\varepsilon''(\omega_0) \varepsilon_p''(\omega_0)}. \quad (22)$$

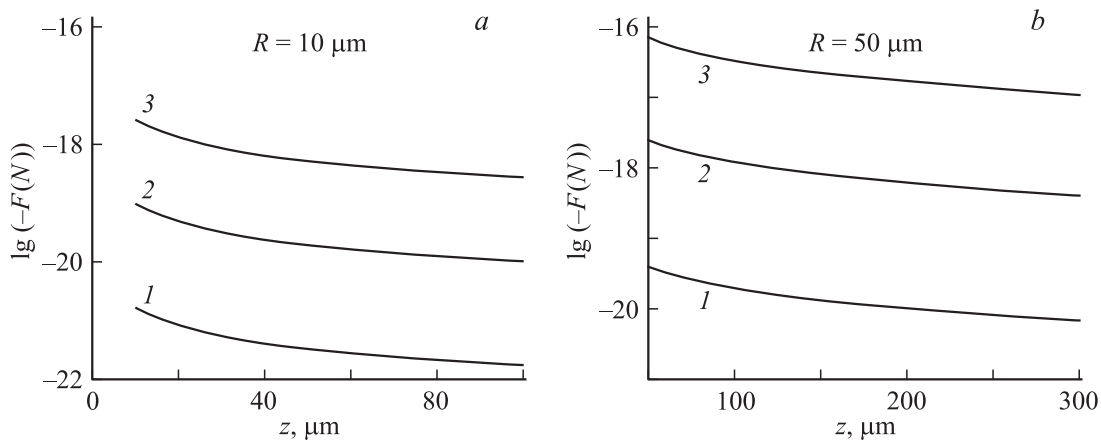
При  $R = 50$  nm,  $z_0 = 10$  nm,  $T = 300$  K,  $\omega_0 = 10^9$  s $^{-1}$ ,  $\Delta\omega_0/\omega_0 = 0.1$ ,  $\varepsilon''(\omega_0) = \varepsilon_p''(\omega_0) = 0.1$  из (22) для вязкого коэффициента трения получим  $\mu \approx 10^{-12}$  kg/s, причем зависимость от расстояния  $F_x \propto z_0^{-3}$  согласуется с экспериментом [27]. Таким образом, наличие пиков поглощения частицы и поверхности в СВЧ-диапазоне может обеспечить демпфирование зонда, наблюдавшееся в экспериментах [26–28] (см. также [30]).

Следует заметить, что в указанный интервал частот попадают линии вращательных переходов молекулярных комплексов, и тот же порядок величины получается при измерении обратного времени затухания  $\tau^{-1}$  колебательного движения адсорбатов в исследованиях сил трения методом кварцевого микробаланса [29]:  $\tau^{-1} \approx 10^9$  s $^{-1}$ . С АСМ-экспериментами [26–28] согласуется также умеренная зависимость  $F_x$  (22) от температуры:  $F_x \propto \omega_W \sim T$  (без учета влияния температуры на диэлектрические свойства).

На рис. 3 показаны результаты расчета сил трения для более крупных частиц меди (с радиусом 10 и 50  $\mu$ m), находящихся в волновой зоне поверхности,  $\eta \gg 1$ . Характерная зависимость силы трения от расстояния и



**Рис. 3.** Сила трения микрочастиц меди с радиусом 10 (а) и 50  $\mu\text{m}$  (b) ( $V = 1 \text{ m/s}$ ) вблизи поверхности меди при температуре 77 (1), 300 (2) и 900 (3).



**Рис. 4.** То же, что на рис. 3, для диэлектрических частиц с резонансным поглощением вблизи поверхности меди. Частоты резонансного поглощения  $10^{13}$  (1),  $3.9 \cdot 10^{13}$  (2) и  $1.2 \cdot 10^{14}$  (3).

температуры в этом случае имеет вид  $F_x \propto T^a/z$ , где  $a = 2-2.2$ , причем без учета магнитной поляризации частиц значение  $F_z$  оказывается на много порядков меньше [6,7].

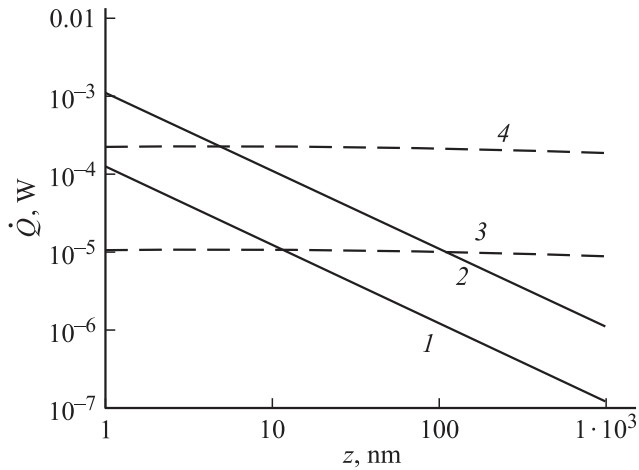
В области  $\eta \gg 1$  более значительными могут быть силы трения диэлектрической частицы с металлической поверхностью, если частота резонансного поглощения частицы попадает в микроволновую область. При этих условиях основной вклад в формуле (17) вносит слагаемое, пропорциональное  $\Phi_3(\omega_w)$  (см. (П.3)), в котором доминирует подынтегральный член, пропорциональный  $\varepsilon''(xt)\varphi_{ep}(xt)$ . Максимальной величине соответствующего частотного интеграла отвечает максимум функции  $t^3/\sinh^2(t/2)$ , равный 6.09 при  $t = 2.58$  т.е. резонанс поглощения приходится на частоту  $\omega_0 = 2.58k_B T/h$ . В итоге для силы трения получаем

$$F_x = -2.3 \frac{\hbar V}{z^2} \left(\frac{R}{z}\right)^3 \left(\frac{\omega_w z}{c}\right)^4 \frac{\sigma}{\omega_w} \frac{\Delta\omega}{\omega_0} \frac{1}{\varepsilon_p''(\omega_0)}. \quad (23)$$

Результаты расчета  $F_x$  по формуле (23) для диэлектрических частиц с радиусом 10 и 50  $\mu\text{m}$  у поверхности меди при различных температурах  $T_1 = T_2 = T$  показаны на рис. 4. Как и в случае расчета по формуле (22), принималось, что  $\Delta\omega_0/\omega_0 = 0.1$ ,  $\varepsilon_p''(\omega_0) = 0.1$ . Как следует из (23), в рассматриваемом случае сила трения обратно пропорциональна расстоянию частицы от поверхности.

### Скорость теплового нагрева

При проведении численных расчетов будем считать, что  $T_1 = T$ ,  $T_2 = 0$  (т.е. зонд нагреет, а поверхность холодная). Сначала рассмотрим теплообмен в зоне ближнего поля поверхности ( $\eta \ll 1$ ). Для перехода к нанозонду параболической формы с радиусом кривизны  $R$  и высотой  $H \gg R$  проинтегрируем формулу (19) по объему зонда, аналогично (12), (17), (18) при нахождении силы трения. Наиболее интересны контакты с совпадающими пиками диэлектрического поглощения частицы и поверхности, а также металлической частицы



**Рис. 5.** Абсолютная скорость радиационного охлаждения диэлектрического зонда АСМ параболической формы ( $R = 50$  nm) вблизи диэлектрической поверхности (кривые 1, 2) и медного зонда у поверхности меди (кривые 3, 4). Температура поверхности равна нулю. Температура диэлектрического и медного зондов: 300 К (1, 3) и 900 К (2, 4).

вблизи металлической поверхности. В формуле (19) при этом преобладают вклады функций  $\Phi_{15}(z)$  или  $\Phi_{16}(z)$ . Для указанных случаев находим

$$\dot{Q} = -\frac{9}{2\pi} \frac{R}{z_0} \frac{1}{\epsilon''} \frac{1}{\epsilon_p''} \frac{\Delta\omega_0}{\omega_0} \hbar\omega_W^2 \frac{\omega_0/\omega_W}{\exp(\omega_0/\omega_W) - 1}, \quad (24)$$

$$\dot{Q} = -9\hbar\omega_W\sigma \left(\frac{\omega_W}{c}\right)^2 R \left[ H + z_0 - z_0 \ln\left(\frac{H + z_0}{z_0}\right) \right] \times \int_0^\infty \frac{t^2 dt}{\exp(t) - 1} \varphi_{mp}(at^{1/2}), \quad (25)$$

где  $a = 2R(2\pi\sigma\omega_W)^{1/2}/c$ , а формула (24) получена при тех же исходных предположениях о характере резонансных пиков поглощения, что и (22).

На рис. 5 показаны результаты расчета абсолютной величины теплового потока, соответствующие диэлектрическому зонду вблизи диэлектрической поверхности и медному — у поверхности меди. Значения необходимых параметров приняты такими же, как в комментарии к (22),  $H/R = 100$ ,  $\omega_0/\omega_W \ll 1$ . Заметим, что последний множитель в (24) равен единице при  $\omega_0/\omega_W \rightarrow 0$  и экспоненциально мал при  $\omega_0/\omega_W > 1$ . Как видно из рис. 5, при комнатных и более высоких температурах на расстояниях зонда от поверхности, превышающих 10 nm, более эффективным является теплообмен в металлическом контакте, при этом тепловой поток зависит от температуры как  $\dot{Q} \propto T^{2.8}$ , оставаясь практически постоянным в широком интервале расстояний.

Обратим внимание на значительную абсолютную величину скорости радиационного теплообмена. Так, например, а атомно-жестком контакте кремниевого зонда

с поверхностью кремния при радиусе кривизны зонда 50 nm и прижимающей силе 12 pN площадь контактного пятна в рамках контактной модели Герца [31] равна  $A = 7.5$  nm<sup>2</sup>, а скорость теплообмена зонда с образцом через образующееся контактное пятно соответственно равна  $\dot{Q}_c = A\lambda(\Delta T/\Delta z)$ , где  $\lambda$  — коэффициент теплопроводности. При  $T = 300$  К и  $\Delta T/\Delta z = 1/\text{nm}$  (для кремния  $\lambda = 150$  W/m<sup>2</sup> К) отсюда следует  $\dot{Q}_c \approx 1.1 \cdot 10^{-8}$  W, и из сравнения с рис. 5 видно, что радиационный теплообмен может превосходить классический контактный на несколько порядков величины. Аналогичный вывод сохраняет силу при сравнении скорости радиационного теплообмена  $\dot{Q}_r$  со скоростью, соответствующей закону Стефана–Больцмана при охлаждении абсолютно черной частицы

$$\dot{Q}_{BB} = -\frac{\pi^3}{15} \left(\frac{R\omega_W}{c}\right)^2 \hbar\omega_W^2.$$

Расчеты показывают, что для микронных частиц меди  $\dot{Q}_r > \dot{Q}_{BB}$  вплоть до расстояний в несколько сотен микрон от поверхности меди [32], причем именно наличие флуктуационного магнитного момента у металлических частиц создает доминирующий вклад в скорость их радиационного нагрева (охлаждения).

## Выводы

В дипольном приближении флуктуационно-электромагнитной теории впервые получены наиболее общие релятивистские формулы для тангенциальной силы взаимодействия и скорости теплового нагрева малой нейтральной частицы, движущейся в вакууме вблизи поверхности конденсированной среды. Получены также нерелятивистские выражения для соответствующих величин с учетом эффектов запаздывания. Конкретизируются вклады вакуумных мод флуктуационного электромагнитного поля, ближних и волновых мод поверхности. Показано, что наличие флуктуационного магнитного момента у проводящей частицы существенно влияет на силу вакуумного трения и скорость теплообмена со средой. В частности, скорость радиационного теплообмена может превышать скорость контактного теплообмена и тем более скорость теплообмена, отвечающую закону Стефана. Впервые также показано, что наличие пиков поглощения в СВЧ-диапазоне (у частицы и поверхности) может объяснить наблюдаемые в динамическом режиме АСМ силы демпфирования зондов.

## Приложение

$$\Phi_1(x) = 1.5 \int_0^\infty dt \varphi_e(xt) \varphi_{ep}(xt) \sinh^{-2}(t/2), \quad (\text{П.1})$$

$$\Phi_2(x) = \int_0^{\infty} dt \frac{t^2}{\sinh^2(t/2)} \left[ \frac{\varepsilon''(xt)}{8} \varphi_{mp}(axt) + \frac{1}{4} \varphi_e(xt) \varphi_{mp}(axt) + \frac{3}{4} \varphi_e(xt) \varphi_{ep}(axt) \right], \quad (\text{П.2})$$

$$\Phi_3(x) = \int_0^{\infty} dt \frac{t^4}{\sinh^2(t/2)} \left[ \frac{\varepsilon''(xt)}{8} (3\varphi_{mp}(axt) + \varphi_{ep}(xt)) + \frac{1}{2} \varphi_e(xt) (\varphi_{mp}(axt) + \varphi_{ep}(xt)) \right], \quad (\text{П.3})$$

$$\Phi_4(x, y) = \int_0^{\infty} dt \frac{t^5}{\sinh^2(t/2)} [\varphi_{ep}(xt) + \varphi_{mp}(axt)] \times Y_1(2xyt, 0.63\sqrt{\varepsilon''(xt)}), \quad (\text{П.4})$$

$$\Phi_5(x) = 6 \int_0^{\infty} \frac{dt}{\exp(t) - 1} \varphi_e(xt) \varphi'_{ep}(xt), \quad (\text{П.5})$$

$$\Phi_6(x) = \int_0^{\infty} dt \frac{t^2}{\exp(t) - 1} [0.5\varepsilon''(xt) \varphi'_{mp}(axt) + \varphi_e(xt) \varphi'_{mp}(axt) + 3\varphi_e(xt) \varphi'_{ep}(xt)] + \int_0^{\infty} dt \frac{t^2}{\exp(t) - 1} [\varphi'_{ep}(xt) + \varphi'_{mp}(axt)], \quad (\text{П.6})$$

$$\Phi_7(x) = \int_0^{\infty} \frac{dt t^4}{\exp(t) - 1} [2\varphi_e(xt) \varphi'_{ep}(xt) + 2\varphi_e(xt) \varphi'_{mp}(axt) + \frac{\varepsilon''(xt)}{2} (3\varphi'_{mp}(axt) + \varphi'_{ep}(xt)) + (2\varphi_e(xt) + 0.5\varepsilon''(xt)) (\varphi_{ep}(xt) + \varphi_{mp}(axt))], \quad (\text{П.7})$$

$$\Phi_8(x, y) = \int_0^{\infty} \frac{dt t^4}{\exp(t) - 1} [t \varphi'_{ep}(xt) + t \varphi'_{mp}(axt) + \varphi'_{ep}(xt) + \varphi'_{mp}(axt)] Y(2xyt, 0.63\sqrt{\varepsilon''(xt)}), \quad (\text{П.8})$$

$$\Phi_9(x, y) = 1.5 \int_0^{\infty} dt \sin(yt) \sinh^{-2}(t/2) \times (\varphi_{mp}(axt) - \varphi_{ep}(xt)), \quad (\text{П.9})$$

$$\Phi_{10}(x, y) = 1.5 \int_0^{\infty} dt t \cos(yt) \sinh^{-2}(t/2) \times (\varphi_{mp}(axt) - \varphi_{ep}(xt)), \quad (\text{П.10})$$

$$\Phi_{11}(x, y) = 2.5 \int_0^{\infty} dt t^2 \sin(yt) \sinh^{-2}(t/2) \times (\varphi_{mp}(axt) - \varphi_{ep}(xt)), \quad (\text{П.11})$$

$$\Phi_{12}(x, y) = 0.5 \int_0^{\infty} dt t^3 \cos(yt) \sinh^{-2}(t/2) \times (\varphi_{mp}(axt) - \varphi_{ep}(xt)), \quad (\text{П.12})$$

$$\Phi_{13}(x, y) = 6 \int_0^{\infty} dt \sin(yt) (\exp(t) - 1)^{-1} \times (\varphi_{mp}(axt) - \varphi_{ep}(xt)), \quad (\text{П.13})$$

$$\Phi_{14}(x, y) = 6 \int_0^{\infty} dt t \cos(yt) (\exp(t) - 1)^{-1} \times (\varphi_{mp}(axt) - \varphi_{ep}(xt)), \quad (\text{П.14})$$

$$\Phi_{15}(x, y) = 10 \int_0^{\infty} dt t^2 \sin(yt) (\exp(t) - 1)^{-1} \times (\varphi_{mp}(axt) - \varphi_{ep}(xt)), \quad (\text{П.15})$$

$$\Phi_{16}(x, y) = 2 \int_0^{\infty} dt t^3 \cos(yt) (\exp(t) - 1)^{-1} \times (\varphi_{mp}(axt) - \varphi_{ep}(xt)), \quad (\text{П.16})$$

$$\Phi_{17}(x) = \int_0^{\infty} t dt (\exp(t) - 1)^{-1} \varphi_e(xt) \varphi_{ep}(xt), \quad (\text{П.17})$$

$$\Phi_{18}(x) = \int_0^{\infty} t^3 dt (\exp(t) - 1)^{-1} [\varphi_e(xt) \varphi_{ep}(xt) + \varphi_{mp}(axt) \varphi_e(xt) + 0.25\varphi_{mp}(axt) \varepsilon''(xt)] \quad (\text{П.18})$$

$$\Phi_{19}(x, y) = \int_0^{\infty} dt t^4 (\exp(t) - 1)^{-1} (\varphi_{ep}(xt) + \varphi_{mp}(axt)) \times Y(2xyr, 0.63\sqrt{\varepsilon''(xt)}), \quad (\text{П.19})$$

$$\Phi_{20}(x, y) = \int_0^{\infty} dt t^4 \cos(yt) (\exp(t) - 1)^{-1} \times (\varphi_{mp}(axt) - \varphi_{ep}(xt)), \quad (\text{П.20})$$

$$\varphi_3(x) = \int_0^{\infty} dt t^4 (\exp(t) - 1)^{-1} (\varphi_{ep}(xt) + \varphi_{mp}(axt)), \quad (\text{П.21})$$



$$Y(x, y) = \frac{1}{x^2} [1 - (1 + xy) \exp(-xy)] + 0.63y^2 \left[ \frac{\exp(-xy)}{y} + x \operatorname{Ei}(-xy) \right]. \quad (\text{П.22})$$

$\operatorname{Ei}(x)$  — интегральная показательная функция. Функции  $\varphi_{ep}$ ,  $\varphi_{mp}$  в (П.5)–(П.8), отмеченные штрихом, обозначают производные по  $t$ .

- [28] *Stipe B.C., Mamin H.J., Stowe T.D., Kenny T.W., Rugar D.* // Phys. Rev. Lett. 2001. Vol. 87. P. 096 801.  
 [29] *Krim J., Widom A.* // Phys. Rev. 1988. Vol. B38. P. 12 184–12 190.  
 [30] *Дедков Г.В.* // ФТТ. 2006. Т. 48. Вып. 4. С. 700–705.  
 [31] *Ландау Л.Д., Лифшиц Е.М.* Теория упругости. М.: Физматлит, 2001.  
 [32] *Дедков Г.В., Кясов А.А.* // Письма в ЖТФ. 2007. Т. 33. Вып. 7. С. 71–78.

## Список литературы

- [1] *Ландау Л.Д., Лифшиц Е.М.* Статистическая физика. Ч. 2. М.: Физматлит, 2002.  
 [2] *Бараш Ю.С.* Силы Ван-дер-Ваальса. М.: Наука, 1988.  
 [3] *Mostepanenko V.M., Trunov N.N.* The Casimir effect and its applications. Oxford: Clarendon Press, 1997.  
 [4] *Дедков Г.В., Кясов А.А.* // ФТТ. 2002. Т. 44. Вып. 10. С. 1729–1751.  
 [5] *Kyasov A.A., Dedkov G.V.* // Nucl. Instr. Meth. 2002. Vol. B195. P. 247–258.  
 [6] *Дедков Г.В., Кясов А.А.* // ФТТ. 2003. Т. 45. Вып. 10. С. 1729–1741.  
 [7] *Dedkov G.V., Kyasov A.A.* // Phys. Low-Dim. Struct. 2003. Vol. 1/2. P. 1–86.  
 [8] *Dedkov G.V., Kyasov A.A.* // Phys. Lett. 2005. Vol. A339. P. 212–216.  
 [9] *Дедков Г.В., Кясов А.А.* // Нано- и микросистемная техника. 2005. № 8. С. 28–31.  
 [10] *Polder D., Van Hove* // Phys. Rev. 1971. Vol. B4. P. 3303–3314.  
 [11] *Левин М.Л., Полевой В.Г., Рытов С.М.* // ЖЭТФ. 1980. Т. 79. С. 2087–2102.  
 [12] *Levitov L.S.* // Europhys. Lett. 1989. Vol. 8. N 6. P. 499–504.  
 [13] *Полевой В.Г.* // ЖЭТФ. 1990. Т7 98. С. 1990–1999.  
 [14] *Loomis J.J., Maris H.J.* // Phys. Rev. 1994. Vol. B50. P. 18 517–18 524.  
 [15] *Mkrchian V.E.* // Phys. Lett. 1995. Vol. A207. P. 299–304.  
 [16] *Pendry J.B.* // J. Phys.: Condens. Matter. 1997. Vol. 9. P. 10 301–10 320.  
 [17] *Pendry J.B.* // J. Phys.: Condens. Matter. 1999. Vol. 11. P. 6621–6632.  
 [18] *Volokitin A.I., Persson B.N.J.* // Phys. Rev. 2001. Vol. B63. P. 205 404.  
 [19] *Volokitin A.I., Persson B.N.J.* // Phys. Low-Dim. Struct. 2001. Vol. 5/6. P. 151–172.  
 [20] *Volokitin A.I., Persson B.N.J.* // Phys. Rev. 2002. Vol. B65. P. 115 419.  
 [21] *Dedkov G.V., Kyasov A.A.* // Europhys. Lett. 2007. Vol. 78. P. 44 005–44 010.  
 [22] *Дедков Г.В., Кясов А.А.* // Письма в ЖТФ. 2007. Т. 33. Вып. 9. С. 61–69.  
 [23] *Дедков Г.В., Кясов А.А.* // Письма в ЖТФ. Т. 32. Вып. 5. С. 78–83.  
 [24] *Butt H.-J., Cappella B., Kappl M.* // Surf. Sci. Rep. 2005. Vol. 59. P. 1–152.  
 [25] *Ландау Л.Д., Лифшиц Е.М.* Электродинамика сплошных сред. М.: Наука, 1982.  
 [26] *Gotsmann B., Seidel C., Anczykowski B., Fuchs H.* // Phys. Rev. 1999. Vol. B60. P. 11 051–11 061.  
 [27] *Gotsmann B., Fuchs H.* // Phys. Rev. Lett. 2001. Vol. 86. P. 2597–2600.